

# Марковский подход к анализу тренда и сезонности в модели нестационарной регрессии

Д. С. Кононенко

Московский физико-технический институт  
Факультет управления и прикладной математики  
Кафедра интеллектуальных систем

Научный руководитель д.т.н., профессор, в.н.с. ВЦ РАН В. В. Моттль

Москва,  
2011 г.

## План доклада

- Линейная нормальная модель сигнала.
- Процедуры фильтрации и интерполяции.
- Тренд и сезонность.
- Задача анализа ВВП.
- Вычислительный эксперимент.

## Общая постановка задачи

- Дан  $Y = (y_t, t = 1 \dots N)$  — наблюдаемый сигнал,  $y_t \in \mathbb{Y} \subseteq \mathbb{R}$ .
- Скрытый процесс  $X = (x_t, t = 1 \dots N)$  — модель наблюдаемого сигнала,  $x_t \in \mathbb{X} \subseteq \mathbb{R}^n$ .
- Нужно для сигнала  $Y$  подобрать наиболее подходящую модель  $X$ .

## Байесовский подход

### Марковская модель

$$\psi_t(x_t|x_1, \dots, x_{t-1}) = \psi_t(x_t|x_{t-1}).$$

$$\varphi_t(y_t|y_1, \dots, y_{t-1}, X) = \varphi_t(y_t|y_1, \dots, y_{t-1}, x_t).$$

### Оптимизационная задача

$$\eta_0(x_0) = \log \psi_0(x_0), \quad \eta_t(x_t|Y^t) = \log \varphi_t(y_t|Y^{t-1}; x_t), \\ \gamma_t(x_{t-1}, x_t) = \log \psi_t(x_t|x_{t-1}), \quad t = 1, \dots, N.$$

$$\hat{X}(Y) = \arg \max_{X \in \mathcal{X}} \sum_{t=0}^N \eta_t(x_t|Y^t) + \sum_{t=1}^N \gamma_t(x_{t-1}, x_t).$$

## Линейная нормальная модель сигнала со скрытой компонентой

Предполагаем следующую модель порождения данных:

$$\begin{cases} \mathbf{x}_t = \mathbf{V}_t \mathbf{x}_{t-1} + \boldsymbol{\varepsilon}_t; \\ y_t = \mathbf{c}_t \mathbf{x}_t + \xi_t. \end{cases}$$

$$\mathbf{V}_t (n \times n), M(\boldsymbol{\varepsilon}_t) = \mathbf{0}, M(\boldsymbol{\varepsilon}_t \boldsymbol{\varepsilon}_s^T) = \mathbf{0} \text{ при } t \neq s,$$

$$M(\boldsymbol{\varepsilon}_t \boldsymbol{\varepsilon}_t^T) = \sigma^2 \mathbf{U}_t^{-1}.$$

$$\mathbf{c}_t \in \mathbb{R}^n, M(\xi_t) = 0, M(\xi_t \xi_s^T) = 0 \text{ при } t \neq s, M(\xi_t \xi_t^T) = \sigma^2,$$

$$M(\boldsymbol{\varepsilon}_t \xi_s) = \mathbf{0}.$$

## Предположения о нормальности

### Предположения о шуме

$$\varepsilon_t \sim \mathcal{N}(\mathbf{0}, \sigma^2 \mathbf{U}_t^{-1}), \quad \xi_t \sim \mathcal{N}(0, \sigma^2).$$

### Начальное значение скрытого процесса — априорная модель

$$\mathbf{x}_0 \sim \mathcal{N}(\mathbf{x}_{0|0}, \mathbf{B}_{0|0}^{-1}).$$

Отсутствие априорных знаний о скрытом процессе может быть выражено следующим образом:

$$\mathbf{B}_{0|0}^{-1} = \begin{pmatrix} \rho & 0 & \dots & 0 \\ 0 & \rho & \dots & 0 \\ \vdots & \vdots & \ddots & \vdots \\ 0 & 0 & \dots & \rho \end{pmatrix} \Rightarrow \mathbf{B}_{0|0} = \mathbf{0},$$

$$\rho \rightarrow \infty.$$

## Процедура фильтрации

### Фильтрационные плотности распределения

$$Y^t = (y_1, \dots, y_t).$$

$$p_{t|t}(\mathbf{x}_t) = p(\mathbf{x}_t | Y^t) \sim \mathcal{N}(\hat{\mathbf{x}}_{t|t}, \mathbf{B}_{t|t}^{-1}).$$

Процедура фильтрации заключается в последовательном нахождении фильтрационных плотностей распределения. Начальные значения берутся из априорной модели.

### Шаг процедуры фильтрации

$$\begin{cases} \hat{\mathbf{x}}_{t|t} = \mathbf{V}_t \hat{\mathbf{x}}_{t-1|t-1} + \mathbf{B}_{t|t}^{-1} \mathbf{c}_t (y_t - \mathbf{c}_t^T \mathbf{V}_t \hat{\mathbf{x}}_{t-1|t-1}), \\ \mathbf{B}_{t|t} = \mathbf{c}_t \mathbf{c}_t^T + (\mathbf{V}_t \mathbf{B}_{t-1|t-1}^{-1} \mathbf{V}_t^T + \mathbf{U}_t^{-1})^{-1}. \end{cases}$$

## Процедура интерполяции

### Интерполяционные плотности распределения

$$p_{t|N}(\mathbf{x}_t) = p(\mathbf{x}_t|Y) \sim \mathcal{N}(\hat{\mathbf{x}}_{t|N}, \mathbf{B}_{t|N}^{-1}).$$

Процедура интерполяции заключается в последовательном нахождении интерполяционных плотностей распределения. Апостериорное матожидание  $\hat{\mathbf{x}}_{N|N}$  и ковариационная матрица  $\mathbf{B}_{N|N}^{-1}$  вычислены на последнем шаге процедуры фильтрации.

### Шаг процедуры интерполяции

$$\begin{cases} \hat{\mathbf{x}}_{t|N} = \hat{\mathbf{x}}_{t|t} + \mathbf{H}_t (\hat{\mathbf{x}}_{t+1|N} - \mathbf{V}_{t+1} \hat{\mathbf{x}}_{t|t}), \\ \mathbf{B}_{t|N}^{-1} = \mathbf{H}_t \mathbf{B}_{t+1|N}^{-1} \mathbf{H}_t^T + \left( \mathbf{v}_{t+1}^T \mathbf{U}_{t+1} \mathbf{v}_{t+1} + \mathbf{B}_{t|t}^{-1} \right)^{-1}, \\ \mathbf{H}_t = \mathbf{B}_{t|t}^{-1} \mathbf{v}_{t+1}^T \left( \mathbf{v}_{t+1} \mathbf{B}_{t|t}^{-1} \mathbf{v}_{t+1}^T + \mathbf{U}_{t+1}^{-1} \right)^{-1}. \end{cases}$$



## Модель тренда

Пусть тренд выражается полиномом степени не выше  $k$ :  
 $g(t) = a_k t^k + \dots + a_1 t + a_0$ . Тогда, зная значения  $g(t_0), \dots, g(t_k)$ , можно восстановить все коэффициенты полинома и значение  $g(t)$  в любой момент времени. Это может быть выражено следующим образом:

$$\begin{pmatrix} g_{\tau} \\ \vdots \\ g_{\tau+k} \end{pmatrix} = V^g \begin{pmatrix} g_{\tau-k-1} \\ \vdots \\ g_{\tau-1} \end{pmatrix}.$$

Здесь матрица  $V^g$  размера  $(k+1) \times (k+1)$  зависит только от степени полинома  $k$ .

## Модель сезонности

Пусть сезонность выражается  $l$  гармониками:

$$h(t) = a_0 + \sum_{i=1}^l a_i \cos(w_i t) + b_i \sin(w_i t), \quad w_i = 2\pi i. \quad \text{Зная } 2l + 1$$

значений  $h(t_0), \dots, h(t_{2l})$ , можно восстановить коэффициенты и значение  $h(t)$  в любой момент времени. Это может быть выражено следующим образом:

$$\begin{pmatrix} h_{\tau} \\ \vdots \\ h_{\tau+2l} \end{pmatrix} = V^h \begin{pmatrix} h_{\tau-2l-1} \\ \vdots \\ h_{\tau-1} \end{pmatrix}.$$

Здесь матрица  $V^h$  размера  $(2l + 1) \times (2l + 1)$  зависит только от  $l$ .

## Скрытые переменные тренда и сезонности

$$\mathbf{z}_t = (\mathbf{x}_t^T, \mathbf{g}_t^T, \mathbf{h}_t^T)^T$$

Линейная нормальная модель с трендом и сезонностью

$$\begin{cases} \mathbf{z}_t = \mathbf{V}_t \mathbf{z}_{t-1} + \varepsilon_t, & t = 2, \dots, N; \\ y_t = \mathbf{c}_t^T \mathbf{z}_t + \xi_t = (\mathbf{c}_t^x)^T \mathbf{x}_t + g_t^1 + \dots + g_t^{k+1} + h_t^1 + \dots + h_t^{l+1} + \xi_t. \end{cases}$$

$$\mathbf{V}_t = \begin{pmatrix} \mathbf{V}_t^x & \mathbf{0} & \mathbf{0} \\ \mathbf{0} & V^g & \mathbf{0} \\ \mathbf{0} & \mathbf{0} & V^h \end{pmatrix}, \quad \mathbf{U}_t^{-1} = \begin{pmatrix} (\mathbf{U}_t^x)^{-1} & \mathbf{0} \\ \mathbf{0} & \mathbf{0} \end{pmatrix}.$$

## Задача анализа ВВП

$y_t$  — ВВП за квартал,  $t = 1 \dots N$

Скрытый процесс  $\mathbf{z}_t = (\mathbf{x}_t^T, \mathbf{g}_t^T, \mathbf{h}_t^T)^T$ , где

$\mathbf{x}_t = \begin{pmatrix} x_{t,1} \\ x_{t,2} \\ x_{t,3} \end{pmatrix}$  — сигнал без учета тренда и сезонности  
по месяцам,

$\mathbf{g}_t = \begin{pmatrix} g_{t,1} \\ g_{t,2} \\ g_{t,3} \end{pmatrix}$  — тренд за квартал по месяцам,

$\mathbf{h}_t = \begin{pmatrix} h_{t,1} \\ h_{t,2} \\ h_{t,3} \end{pmatrix}$  — сезонность за квартал по месяцам.

$$y_t = \mathbf{c}^T \mathbf{z}_t + \xi_t =$$

$$x_{t,1} + x_{t,2} + x_{t,3} + g_{t,1} + g_{t,2} + g_{t,3} + h_{t,1} + h_{t,2} + h_{t,3} + \xi_t,$$

$t=1, \dots, N.$

## Компонента с шумом

$$x_\tau = x_{\tau-1} + \eta_\tau, \quad \tau = 2, \dots, 3N,$$

$$M(\eta_\tau) = 0, \quad D(\eta_\tau) = \sigma_x^2, \quad M(\eta_{\tau_1} \eta_{\tau_2}) = 0 \text{ при } \tau_1 \neq \tau_2.$$

$$\mathbf{x}_t = \begin{pmatrix} x_\tau \\ x_{\tau+1} \\ x_{\tau+2} \end{pmatrix} \text{ — компонента скрытого процесса.}$$

$$V^x = \begin{pmatrix} 0 & 0 & 1 \\ 0 & 0 & 1 \\ 0 & 0 & 1 \end{pmatrix},$$

$$(U^x)^{-1} = \begin{pmatrix} 1 & 1 & 1 \\ 1 & 2 & 2 \\ 1 & 2 & 3 \end{pmatrix}.$$

$\tau$  — номер месяца.

## Компоненты тренда и сезонности

$$g_{\tau} = 3g_{\tau-1} - 3g_{\tau-2} + g_{\tau-3}, \quad \tau = 4, \dots, 3N.$$

$$g_t = \begin{pmatrix} g_{\tau} \\ g_{\tau+1} \\ g_{\tau+2} \end{pmatrix} \text{ — компонента скрытого процесса.}$$

$$V^g = \begin{pmatrix} 1 & -3 & 3 \\ 3 & -8 & 6 \\ 6 & -15 & 10 \end{pmatrix}.$$

$$h_{\tau} = 2 \left[ \cos\left(\frac{2\pi}{T}\right) \right] h_{\tau-1} - h_{\tau-2}, \quad \tau = 3, \dots, 3N.$$

$$h_t = \begin{pmatrix} h_{\tau} \\ h_{\tau+1} \\ h_{\tau+2} \end{pmatrix} \text{ — компонента скрытого процесса.}$$

$$V^h = \begin{pmatrix} 0 & -1 & 2 \cos(w) \\ 0 & -2 \cos(w) & 4 \cos^2(w) - 1 \\ 0 & -(4 \cos^2(w) - 1) & 8 \cos^3(w) - 4 \cos(w) \end{pmatrix}.$$

## Линейная нормальная модель

Модель сводится к виду, рассмотренному выше:

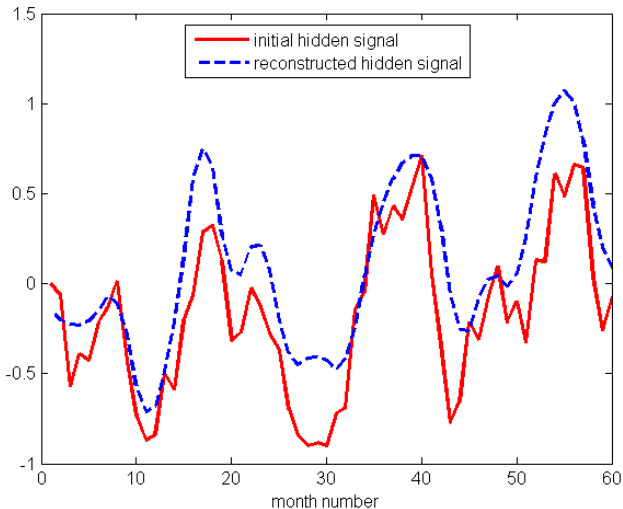
$$\begin{cases} \mathbf{z}_t = V\mathbf{z}_{t-1} + \boldsymbol{\varepsilon}_t, & t = 2, \dots, N; \\ y_t = \mathbf{c}_t\mathbf{z}_t + \xi_t, & t = 1, \dots, N; \end{cases}$$

где скрытый процесс  $\mathbf{z}_t = (\mathbf{x}_t, \mathbf{g}_t, \mathbf{h}_t)^T$ ,

$$\mathbf{c}_t = (1 \dots 1)^T \quad [9 \times 1],$$

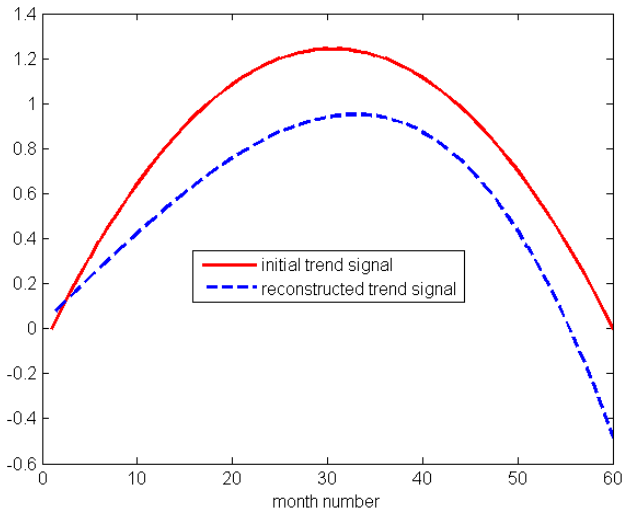
$$V = \begin{pmatrix} V^x & 0 & 0 \\ 0 & V^g & 0 \\ 0 & 0 & V^h \end{pmatrix} \quad [9 \times 9].$$

## Зашумленная скрытая компонента

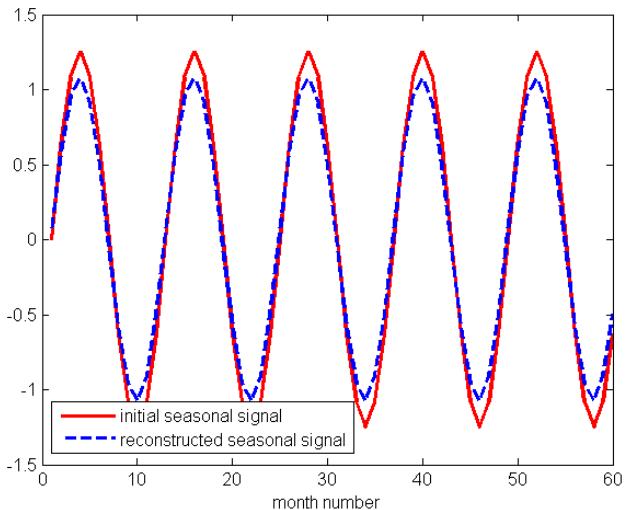




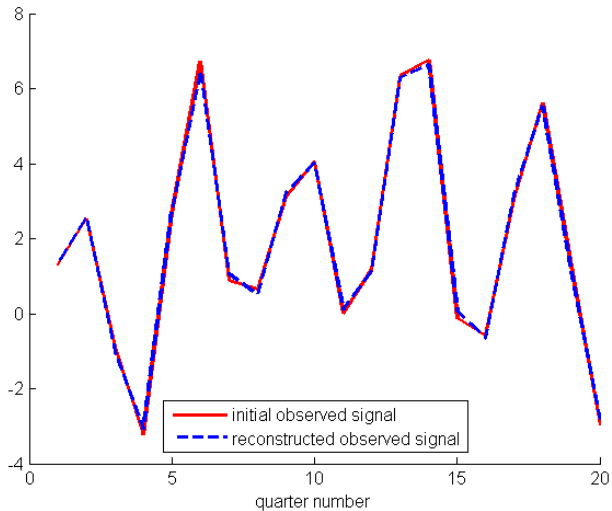
## Скрытая компонента тренда



## Скрытая компонента сезонности



## Наблюдаемый сигнал



## Результаты работы

- Предложен способ моделирования тренда и сезонности в рамках линейной нормальной модели нестационарной регрессии.
- Предложенный метод реализован в среде MATLAB.
- Предложенные модели проиллюстрированы на задаче анализа ВВП.
- Проведен вычислительный эксперимент, который показал работоспособность предложенного метода, но также и выявил некоторые его недостатки.